

MATERIAL SUPLEMENTAR

NANOCÁPSULAS DE NÚCLEO LIPÍDICO: PREPARAÇÃO, CARACTERIZAÇÃO E APLICAÇÕES BIOLÓGICAS

Danieli R. Dallemole^a, Taiane M. Ciocheta^a, Luiza A. Frank^a, Aline de C. S. Alves^a,
Bárbara P. Zoche^a, Silvia S. Guterres^a, Karina Paese^a, Adriana R. Pohlmann^{a,*},

^aFaculdade de Farmácia, Universidade Federal do Rio Grande do Sul, 90610-000 Porto Alegre – RS, Brasil

*e-mail: adriana.pohlmann@ufrgs.br



Figura 1S. Linha do tempo sobre o desenvolvimento e aplicações das LNCs

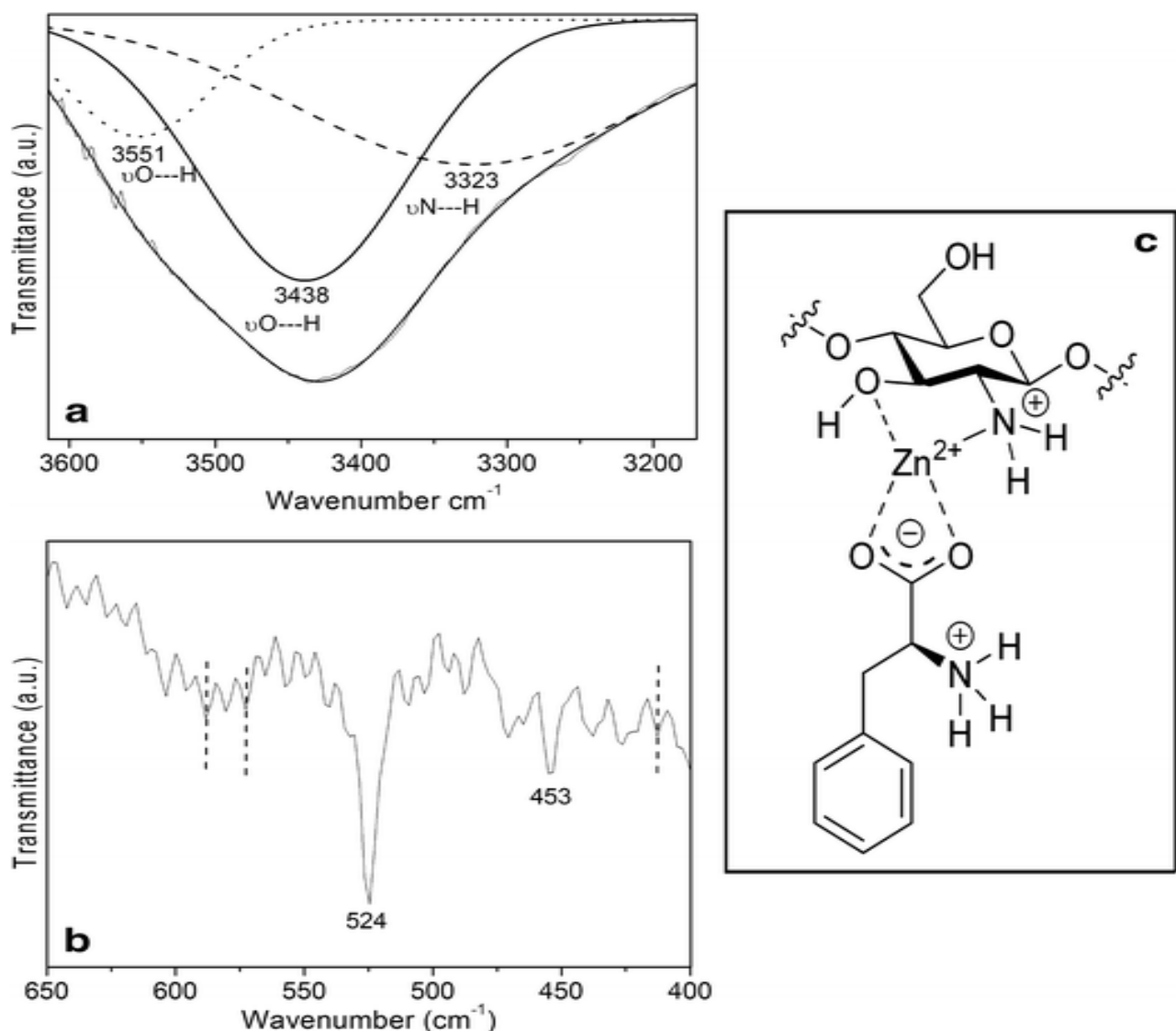


Figura 2S. Representação da complexação organometálica entre o íon Zn^{2+} e o aminoácido fenilalanina, utilizado como ligante modelo. (a) Espectro infravermelho na faixa de $3600\text{-}3100\text{ cm}^{-1}$, em 3551 cm^{-1} e 3438 cm^{-1} modo de alongamento de O-H; em 3323 cm^{-1} modo de estiramento de N-H. (b) Espectro infravermelho na faixa de $650\text{-}400\text{ cm}^{-1}$; picos em 453 cm^{-1} e 524 cm^{-1} modo vibracional Zn-N e ao modo N-H de flexão fora do plano. (c) Esquema da complexação organometálica. Foi identificada uma banda próxima a 960 cm^{-1} relacionada com a curvatura da banda C-O fora do plano referente ao grupo carboxílico dimérico (não mostrado na figura). O modo ativo infravermelho Zn-O não foi observado e está representado com as linhas tracejadas. Em conjunto esses dados mostram que o íon metálico está quimicamente ligado ao átomo de nitrogênio da quitosana, em uma estrutura quelada, interagindo com OH do polímero catiônico, na posição C-3, e com o COO⁻ presente no ligante, nesse caso em específico, a fenilalanina (reproduzido com autorização^{22S} - Centro de Atendimento ao Cliente Springer Nature (SNCSC))

CARACTERIZAÇÃO FÍSICO-QUÍMICA

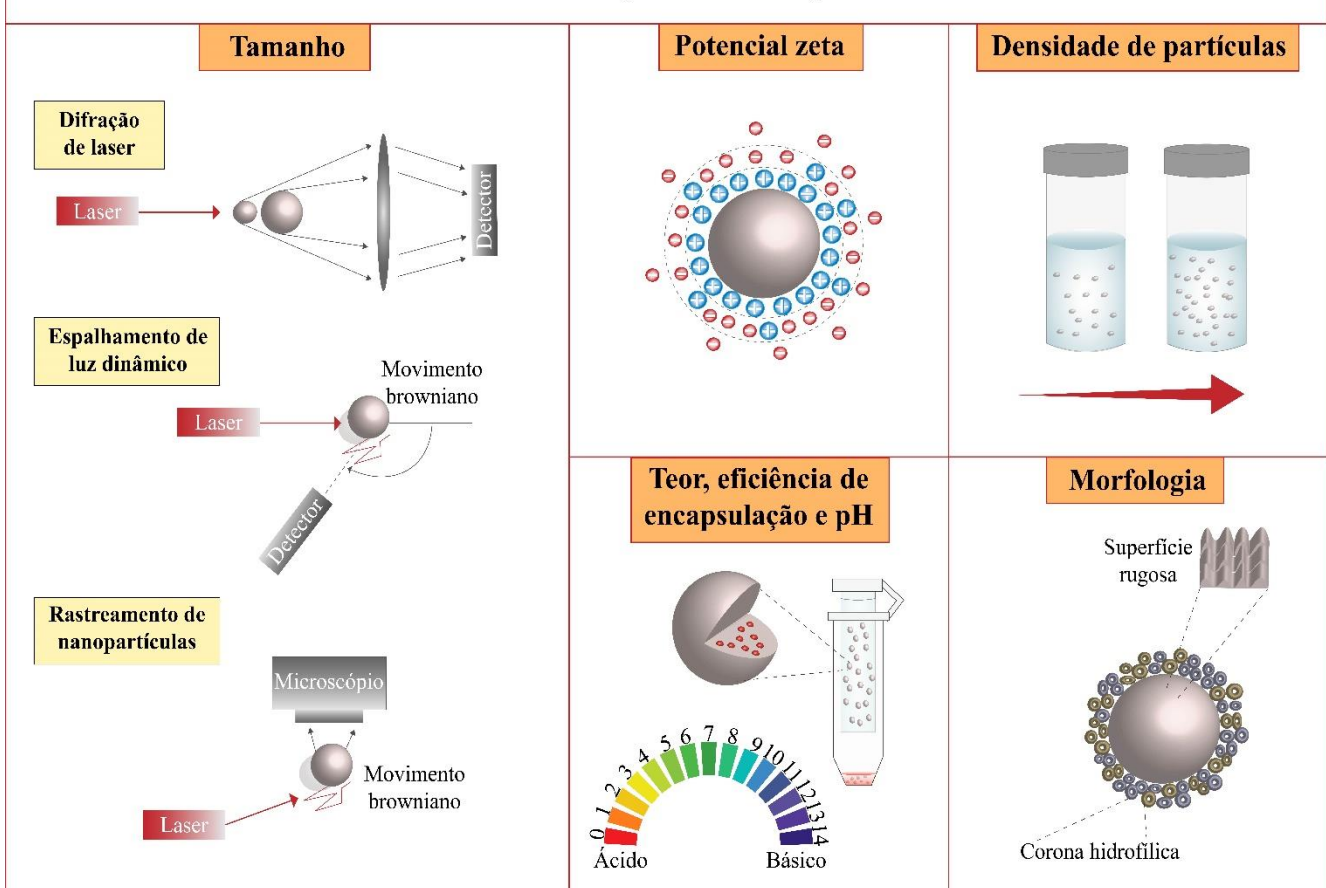


Figura 3S. Técnicas de caracterização físico-química das LNCs

Tabela 1S. Nanocápsulas de núcleo lipídico revestidas por poloxamer 188, polissorbato 80 e/ou lecitina

Óleo	Polímero	Tensio-ativos	Fármaco ou substância ativa	Tamanho de partícula (nm)*	PDI	PZ (mV)	EE (%)	pH	Ref.
TCC	PCL	MS P80	trans-resveratrol	253 ± 12	< 0,3	-13,5 ± 1,6	99,89 ± 1,3	4,71 ± 0,26	32S
Óleo de semente de uva	PCL	MS P80	Curcumina	196 ± 1,40	0,08 ± 0,02	-9,56 ± 0,6	100	6,01 ± 0,24	33S
TCC	PCL	MS P80	Indometacina	231 ± 4	0,12 ± 0,01	-7,0 ± 1,3	~ 100	5,95 ± 0,1	34S
TCC	PCL	MS P80	-	215 ± 4	0,11 ± 0,02	-7,5 ± 0,8	-	6,5 ± 0,2	14S
TCC	PCL	MS P80	Trans-resveratrol	241 ± 7	0,16 ± 0,03	-14,1 ± 2,3	99,78 ± 1,6	5,2 ± 0,3	35S
TCC	PCL	MS P80	Trans-resveratrol	249 ± 5	0,12 ± 0,0	-14 ± 1,8	99,89 ± 1,3	5,5 ± 0,2	36S
Óleo de semente de uva	PCL	MS P80	Curcumina	192 ± 6	0,09 ± 0,01	-9,6 ± 3,5	-	6,4 ± 0,5	37S
TCC	PCL (Mw: 14 kg mol ⁻¹)	MS P80	-	207 ± 3	0,12 ± 0,05	-8,6 ± 1,4	-	6,0 ± 0,2 4% de soft material	38S
				4% de soft material	4% de soft material	4% de soft material			
Óleo de semente de uva	PCL	MS P80	Curcumina	202 ± 5,51	0,11 ± 0,01	-7,34 ± 0,14	100	5,81 ± 0,03	39S
TCC	PCL	MS P80	Ácido lipóico	Entre 313 ± 2 e 340 ± 2	Entre 0,24 ± 0,003 e 0,29 ± 0,001	Entre -6,05 ± 0,06 e -7,42 ± 0,38	78	-	40S
TCC	PCL	MS P80	Olanzapina	156 ± 14	0,086 ± 0,012	-17,17 ± 2,4	84,12	-	41S
TCC	PCL	MS P80	Furoato de Mometasona	211 ± 03	0,13 ± 0,03	-10,5 ± 1,4	99,9	7,1 ± 0,1	42S
TCC	PCL	MS P80	-	180 ± 6	0,07 ± 0,01	-11 ± 0,7		5,6 ± 0,3	43S
Óleo de rícino e mineral	PCL	MS P80	Prednisolona	216 ± 11	0,12 ± 0,02	-5,76 ± 0,23	45,9 ± 2,7	5,60 ± 0,16	44S
TCC	PCL	MS P80	Pirimetamina	184 ± 17	0,10 ± 0,02	-10,9 ± 0,1	92,5 ± 3,8	6,86 ± 0,16	45S
TCC	PCL	MS P80	Olanzapina	-	-	-	-	-	46S
TCC	PCL	MS P80	Olanzapina	156 ± 13	0,086 ± 0,012	-17,17 ± 2,4	97,18 ± 1,45	6,12 ± 0,14	47S
Óleo de arroz, soja ou semente de girassol	PCL	MS P80	Propionato de clobetasol	235 ± 7	0,17 ± 0,01	-8,11 ± 0,43	~ 99 para todas as formulações	5,29 ± 0,06 Óleo de arroz	48S
				Óleo de arroz	Óleo de arroz	Óleo de arroz			
				228 ± 2	0,15 ± 0,02	-7,92 ± 0,74			
TCC	PCL	MS P80	-	Óleo de soja	Óleo de soja	Óleo de soja	5,40 ± 0,1 Óleo de soja	5,45 ± 0,11 Óleo de semente de girassol	49S
				231 ± 3	0,16 ± 0,02	-7,79 ± 0,13			
				Óleo de semente de girassol	Óleo de semente de girassol	Óleo de semente de girassol			
TCC	PCL	MS P80	-	245 ± 10	0,11	-7,5 ± 0,8	-	6,5 ± 0,2	50S
TCC	PCL	MS P80	Tretinoína	225 ± 2	0,08 ± 0,01	-12,7 ± 0,9	99,9	-	51S
TCC	PCL (Mw: 14 kg mol ⁻¹)	MS P80	Éster dietilílico de metotrexato	183 ± 7	0,06 ± 0,02	-8 ± 5	99 ± 1	5,85 ± 0,56	52S
TCC	PCL	MS P80	Meloxicam	283		-14,53	-	-	53S
TCC	PCL	MS P80	Tacrolíus	210 ± 14	0,09 ± 0,00	-13,9 ± 0,29	99,49 ± 0,01	6,12 ± 0,80	54S
TCC	PCL	MS P80	Tretinoína	< 230	< 0,2		99,9		16S

Tabela 1S. Nanocápsulas de núcleo lipídico revestidas por poloxamer 188, polissorbato 80 e/ou lecitina (cont.)

Óleo	Polímero	Tenso-ativos	Fármaco ou substância ativa	Tamanho de partícula (nm)*	PDI	PZ (mV)	EE (%)	pH	Ref.
Óleo de arroz	PCL	MS P80		194 ± 3	0,09 ± 0,04	-9,31 ± 0,32	-	5,51 ± 0,11	54S
Óleo de semente de uva	PCL	MS P80	Curcumina e resveratrol	202 ± 0,04	0,12 ± 0,01	-7,19 ± 1,19	99,79 ± 0,03	6,20 ± 0,03	55S
				207 ± 0,06	0,12 ± 0,01	-7,24 ± 0,74	100	6,28 ± 0,19	Curcumina
				201 ± 0,05	0,09 ± 0,02	-7,73 ± 0,73	99,80 ± 0,02	6,48 ± 0,09	Curcumina e resveratrol
							99,94 ± 0,08		Curcumina e resveratrol
Óleo de semente de uva	PCL	MS P80	Curcumina e resveratrol	196 ± 7,5	0,10 ± 0,04	-11,4 ± 2,1	100	6,05 ± 0,08	56S
TCC	PCL	MS P80	Metotrexato	194 ± 6	0,11 ± 0,01	-8 ± 1	20,0 ± 3,0	4,8 ± 0,5	57S
Óleo de peixe	PCL	MS P80	Haloperidol	250 ± 7	0,21 ± 0,00	-12 ± 0,9	95,01 ± 0,4	-	58S
TCC	PCL	MS P80	Ditranol	234 ± 7	0,15 ± 0,01	-9,0 ± 1,4	100	4,35 ± 0,06	Ácido ascórbico
				Ácido ascórbico	Ácido ascórbico	Ácido ascórbico			
Óleo de semente de uva	PCL	MS P80	Curcumina	241 ± 4	0,16 ± 0,03	-7,6 ± 0,6	99,97 ± 0,04	6,14 ± 0,30	EDTA
				EDTA	EDTA	EDTA			
TCC	PCL	MS P80	Olanzapina	198 ± 0,58	0,10 ± 0,02	-12,35 ± 2,09	99,97 ± 0,04	6,26 ± 0,23	61S
TCC	PCL	MS P80	Melatonina	203 ± 3	0,11 ± 0,01	-5,2 ± 0,2	39	5,58 ± 0,3	62S
TCM	PCL	MS P80	Melatonina	195 ± 5,7	0,09 ± 0,04	-10,76 ± 0,3	32,11 ± 0,05	5,15 ± 0,3	63S
TCC	PCL	MS P80	-	245 ± 10	0,11 ± 0,02	-7,5 ± 0,8	-	6,5 ± 0,2	64S
TCC	PCL (Mw: 14 kg mol ⁻¹)	MS P80	Metotrexato	187 ± 8	0,09 ± 0,01	-10 ± 3	47 ± 5	5,03 ± 0,18	65S
Óleo de copaíba	PCL (Mw: 14 kg mol ⁻¹)	MS P80	Imiquimode	206 ± 6	0,159 ± 0,02	~ -12	97,9	6,2	66S
TCC	PCL	MS P80	Meloxicam	247 ± 9	0,14 ± 0,02	-36,4 ± 4,4	98	5,5 ± 0,2	67S
TCC	PCL	MS P80	Meloxicam	283	0,25	-14,53	-	-	68S
TCC	PCL	MS P80	Melatonina	171 ^{DL}		-	-	-	69S
TCM	PCL	MS P80	Quetiapina	192 ± 5 ^{NTA}		-		6,19 ± 0,66	70S
TCC	PCL	MS P80	Quetiapina	176 ± 2	0,068 ± 0,018	-7,65 ± 0,815	95,4 ± 1,82	-	71S
TCC	PCL	MS P80	Melatonina	181	0,16	-	-	-	72S
TCC	PCL	MS P80	Propionato de cloretasol	106 ± 01	0,08 ± 0,01	-13,22 ± 0,34	98,76 ± 0,7	-	73S
TCC	PCL	MS P80	Tacrolimus	212 ± 11	< 0,12	-13,05 ± 3,70	99,43 ± 0,06	6,83 ± 0,19	74S
Vitamina D3 dissolvida em TCC	PCL	MS P80	Vitamina D3	189 ± 2	< 0,09	-13 ± 1	-	-	75S

Tabela 1S. Nanocápsulas de núcleo lipídico revestidas por poloxamer 188, polissorbato 80 e/ou lecitina (cont.)

Óleo	Polímero	Tenso-ativos	Fármaco ou substância ativa	Tamanho de partícula (nm)*	PDI	PZ (mV)	EE (%)	pH	Ref.
Óleo de semente de uva	PCL	MS P80	Curcumina e/ou resveratrol	211,73 ± 1,65 Resveratrol	0,093 ± 0,028 Resveratrol	-21,73 ± 0,35 Resveratrol	98,00 Resveratrol	-	76S
				205,70 ± 1,041 Curcumina	0,077 ± 0,030 Curcumina	-22,17 ± 0,23 Curcumina	97,33 Curcumina		
				199,73 ± 0,93 Resveratrol-curcumina 1 mg mL ⁻¹	0,115 ± 0,017 Resveratrol-curcumina 1 mg mL ⁻¹	-20,97 ± 0,55 Resveratrol-curcumina 1mg mL ⁻¹			
				201,67 ± 1,80 Resveratrol-curcumina 0,5 mg mL ⁻¹	0,067 ± 0,008 Resveratrol-curcumina 0,5 mg mL ⁻¹	-22,50 ± 0,36 Resveratrol-curcumina 0,5 mg mL ⁻¹	100,00 e 99,33 Resveratrol-curcumina 0,5 mg mL ⁻¹		
								6,03 ± 0,49	77S
			Alfa-bisabolol	177 ± 5	0,096 ± 0,05	-7,7 ± 2,7	-		
Óleo de borragem	PCL	MS P80	Dipropionato de Betametasona	210 ± 3	0,05 ± 0,04	-16,6 ± 1,1	100	6,0-6,2	78S
TCC	PCL (Mw: 14 kg mol ⁻¹)	MS P80 LS75	Dapsone	118 ± 3	0,12 ± 0,00	-13 ± 2	84 ± 1	4,57 ± 0,46	19S
TCC	PCL	MS P80	-	181,13 ± 2,83	0,09 ± 0,021	-7,84 ± 1,44	-	5,82 ± 0,2	79S
TCC	PCL (Mw: 14 kg mol ⁻¹)	MS P80	Metotrexato	-	-	-	-	-	80S
TCC	Mistura de PCL Mw-114 kg mol ⁻¹ e 14 kg mol ⁻¹ (9:1 m/m)	MS P80	Acetileugenol	194 ± 20	0,12 ± 0,02	-11,5 ± 2,14	100	~ 6	20S
TCC	PCL (Mw: 14 kg mol ⁻¹)	MS P80	Indometacina e Éster etílico de indometacina	192 ± 24 ^{DL}	1,68 ± 0,03 ^{SPAN}	-10,3 ± 2,5	-	-	18S
TCC	PCL	MS P80	Meloxicam	247 ± 9	-	-36,4 ± 4,4	-	-	81S
TCC	PCL (Mw: 14 kg mol ⁻¹)	MS P80	Halcinonida	-	-	-	99	-	82S
Triglicerídeos do ácido cáprico	PCL	MS P80	Trans-resveratrol	207 ± 0,03	0,12 ± 0,04	-7,15	99,54 ± 1,02	6,22 ± 0,04	83S
Óleo de semente de uva	PCL	MS P80	Carvedilol	180 ± 3	0,08 ± 0,01	-6,6 ± 0,6	88 ± 1,10	6,8 ± 0,03	84S
TCC	PCL	MS P80 Lecitin a	-	132	0,12	-8,5	-	-	85S
TCC	PCL	MS P80	-	187 ± 6	0,10 ± 0,02	-9,31 ± 0,79	-	6,4 ± 0,1	86S
TCC	PCL	MS P80	Hesperetina	233 ± 8 ^{DL}	1,75 ± 0,02	-11,8 ± 0,9	98,81 ± 0,28	6,50 ± 0,09	87S
TCC	PCL	MS P80	Deflazacort	202 ± 18	0,09 ± 0,04	-7,58 ± 0,89	85 ± 0,06	~ 6	88S
TCC	PCL	MS P80	Alfa-bisabolol	160 ± 10	0,10 ± 0,06	-8,1 ± 1,0	99,78 ± 1,8	6,2 ± 0,3	89S

Tabela 1S. Nanocápsulas de núcleo lipídico revestidas por poloxamer 188, polissorbato 80 e/ou lecitina (cont.)

Óleo	Polímero	Tenso-ativos	Fármaco ou substância ativa	Tamanho de partícula (nm)*	PDI	PZ (mV)	EE (%)	pH	Ref.
Ácido oleíco	PCL	MS P80	Ciprofloxacino	181,8 ± 10,7	0,140 ± 0,01	-21,3 ± 2,6	86,90 ± 0,83	5,85 ± 0,1	90S
TCC	PCL	MS P80	Quercetina	222 ^{DL}	< 1,8 ^{SPAN}	-	-	-	91S
TCC	PCL	MS P80	Tretinoína	225 ± 2	0,08 ± 0,01	-12,7 ± 0,9	-	6,88	92S
TCC	PCL (Mw: 14 kg mol ⁻¹)	MS P80	Doxorubicina	230 ± 23	0,13 ± 0,05	-11 ± 2	90,59 ± 0,39	5,2 ± 0,4	93S
Óleo de copaíba	PCL	MS P80	Imiquimode	199 ± 16	0,12 ± 0,09	-10,2 ± 0,3	97 ± 0,9	6,34 ± 0,05	94S
TCC	PCL	MS P80	Acetileugenol	194 ± 20	0,11 ± 0,01	-	-	-	95S
Óleo de borragem	PCL	MS P80	Dipropionato de Betametasona	197 ± 05	0,08 ± 0,01	-8,60 ± 1,34	100	6,35 ± 0,18	96S
TCM	PCL	MS P80	-	200 ± 2	0,124 ± 0,17	-5,27 ± 1,38	-	6,02 ± 0,12	97S
TCC	PCL	MS P80	Meloxicam	284 ± 2	0,27 ± 0,01	-31,5 ± 0,3	~ 98	-	25S
TCC, óleo de peixe e óleo de semente de uva	PCL	MS P80	Haloperidol	230 ± 25	0,16 ± 0,5	-8 ± 0,2	94 ± 0,5	7,5 ± 0,1	98S
			TCC	TCC	TCC	TCC	TCC	TCC	
			Óleo de peixe	261 ± 03	0,21 ± 0,0	-13 ± 0,7	95 ± 0,4	7,5 ± 0,1	
			Óleo de peixe	Óleo de peixe	Óleo de peixe	Óleo de peixe	Óleo de peixe	Óleo de peixe	
			Óleo de semente de uva	253 ± 30	0,20 ± 0,0	-16 ± 1,0	86 ± 0,3	7,4 ± 0,2	
			Óleo de semente de uva	Óleo de semente de uva	Óleo de semente de uva	Óleo de semente de uva	Óleo de semente de uva	Óleo de semente de uva	
TCC	Mistura de PCL Mn-80 kg mol ⁻¹ e 14 kg mol ⁻¹ (9:1 m/m)	MS P80	-	184 a 217	-	-9,7 a -15,3	-	5,8 a 5,9	99S
TCM	PCL (Mw: 14 kg mol ⁻¹)	MS P80	Metotrexato	192 ± 6	0,1 ± 0	-9,4 ± 2,1	46,65 ± 5,68	5,01 ± 0,43	100S
TCC	PCL	MS P80	Sinvastatina	205 ± 1	0,09 ± 0,01	-19,5 ± 0,13	99,2 ± 0,7	6,05 ± 0,13	101S
Óleo de semente de uva	PCL	MS P80	Carvedilol	139 ± 6	-	-7,6 ± 1	-	-	102S
Óleo de semente de uva	PCL	MS P80	Fenitoína	161 ± 4	0,14 ± 0,01	-15,07 ± 0,3	95,2 ± 1,4	5,6 ± 0,1	103S
TCM	PCL	MS P80	Trans-resveratrol	241 ± 7	0,16 ± 0,03	-14,1 ± 2,3	99,89 ± 1,3	5,2 ± 0,3	104S
TCC	PCL	MS P80	Curcumina e Vitamina D3	214 ± 4,09	0,118 ± 0,02	-11,0 ± 1,89	100	-	105S
TCM	PCL	MS P80	Fluconazol	211 ± 2 ^{DL}	1,454 ± 0,01 ^{SPAN}	-11,66 ± 1,65	97 ± 3	4,88 ± 0,07	106S
TCC	PCL	MS P80	Curcumina	291-312 ^{DL}	< 2 ^{SPAN}	-22 e -36	-	6,01-6,98	107S
TCC	PCL	MS P80	Curcumina	247 ± 4	-	-34,7 ± 3,1	100	~ 7,0	108S
TCM	PCL	MS P80	Melatonina	199 ± 2,5	0,12 ± 0,004	-5,20 ± 0,2	39,5	5,69	109S
TCM	PCL (Mw: 14 kg mol ⁻¹)	MS P80	-	183 ± 17	0,10 ± 0,04	-9,6 ± 2,0	-	4,9 ± 0,3	28S
TCC	PCL	MS P80	-	146 ± 1 ^{DL}	1,6 ± 0,2 ^{SPAN}	-15,2 ± 1,0	-	7,4 ± 0,05	26S
Óleo de copaíba	PCL	MS P80	Lapatinibe	172 ± 8	0,100 ± 0,012	-8,85 ± 1,76	100	6,14 ± 0,15	110S
Óleo de copaíba	PCL	MS P80	Imiquimode	242,1 ± 17	0,17 ± 0,1	-8,9 ± 0,3	98 ± 0,2	6,1 ± 0,07	111S
TCC	PCL	MS P80	Dutasterida	199,0 ± 0,5	0,12 ± 0,01	-13,6 ± 0,6	96,7 ± 1,8	4,7	112S
			Lecitina	-	-	-	-	-	

Tabela 1S. Nanocápsulas de núcleo lipídico revestidas por poloxamer 188, polissorbato 80 e/ou lecitina (cont.)

Óleo	Polímero	Tenso-ativos	Fármaco ou substância ativa	Tamanho de partícula (nm)*	PDI	PZ (mV)	EE (%)	pH	Ref.
TCC	PCL	MS P80	Meloxicam e/ou curcumina	247 ± 4 ^{DL}	1,44 ± 0,06	-34,7 ± 3,1	100	6,95 ± 0,07	113S
				Curcumina	Curcumina	Curcumina	Curcumina	Curcumina	
				315 ± 6 ^{DL}	1,24 ± 0,11	-29,8 ± 4,0	99,8 ± 0,2	6,05 ± 0,04	
				Meloxicam	Meloxicam	Meloxicam	Meloxicam	Meloxicam	
Labrafac lipophil	PCL (Mw: 14 kg mol ⁻¹)	MS Poloxamer 188	Cloridrato de trazodona	133,5 ± 2,1	0,29 ± 0,01	-21,9 ± 0,9	74,8 ± 2,1	-	114S
TCM	PCL	MS P80	Chalcona sintética (CH8)	174 ± 07	0,10 ± 0,01	-7,50 ± 0,07	99,9	-	115S
Óleo de romã	PCL	MS P80	Crisina	368 ± 1 ^{DL}	1,4 ± 0,01	-37,65 ± 1,04	84,82	7,43 ± 0,05	116S
TCC	PCL	MS P80	-	145 ± 1 ^{DL}		-15,4 ± 1,0	-	7,5 ± 0,05	117S
TCM	PCL (Mw: 14 kg mol ⁻¹)	MS P80 LS75	- 152 ± 12 ^{NTA} (P80) 140 ± 3 ^{NTA} (lecitina e P80)						118S
Óleo de copaiba	PCL (Mw: 14 kg mol ⁻¹)	MS P80	Erlotinibe	171 ± 2	0,076 ± 0,015	-8,17 ± 2,26	99,10 ± 0,69	6,24 ± 0,02	119S
TCC	PCL	MS P80	Quetiapina	166 ± 39			93,0 ± 1,4		120S
TCC	PCL	MS P80	Sinvastatina	211 ± 7	0,11 ± 0,01	-20,7 ± 0,3	98,9 ± 1	6,0 ± 0,3	121S
Linalool-(-)	PCL	MS P80	Linalool-(-)	199,1 ± 0,7	0,130 ± 0,01	-15,34 ± 0,9	80,98 ± 0,003	5,79 ± 0,2	122S
TCC	PCL	MS P80	Curcumina	215 ± 3 ^{DL}	1,96 ^{SPAN}	Valor negativo	100	6,0	123S
Óleo de coco	PCL	MS P80	Extrato de goiaba vermelha	211,30 ± 2,57	0,14 ± 0,04	-36,30 ± 1,22	95	5,80	124S
TCM	PCL	MS P80 LS75	Óleo de pequi	220 ± 1,2	0,136 ± 0,016	-11,6 ± 2,6	-	5,72 ± 0,33	125S
Óleo de copaiba	PCL	MS P80	Imiquimode	213 ± 12	0,12 ± 0,03	-12,7 ± 1,3	-	6,3 ± 0,07	126S
Óleo de copaiba	PCL	MS P80	Floretina	202,5 ± 6,58	0,10 ± 0,00	-8,78 ± 0,33	> 99	5,77 ± 0,03	127S
TCC	PCL	MS P80	Ácido lipóico e/ou resveratrol	204 ± 15	0,12 ± 0,04	-4,48 ± 0,83	95 ± 4	4,80 ± 0,53	128S
				Resveratrol	Resveratrol	Resveratrol	Resveratrol	Resveratrol	
				210 ± 09	0,14 ± 0,03	-3,49 ± 2,14	92 ± 3	4,40 ± 0,40	
				Ácido lipóico	Ácido lipóico	Ácido lipóico	Ácido lipóico	Ácido lipóico	
TCC	PCL	MS P80	Resveratrol e Ácido lipóico	217 ± 16	0,16 ± 0,04	-3,66 ± 0,79	94 ± 1 e	4,43 ± 0,29	
				Resveratrol e Ácido lipóico	Resveratrol e Ácido lipóico	Resveratrol e Ácido lipóico	89 ± 2	Resveratrol e Ácido lipóico	
				Ácido lipóico	Ácido lipóico	Ácido lipóico	Resveratrol e Ácido lipóico	Resveratrol e Ácido lipóico	
TCC	PCL	MS P80	Curcumina e/ou meloxicam	Entre 291 e 312 ^{DL}		Negativo (-22-36)		entre 6,01 e 6,98	129S
TCM	PCL	MS P80	Budenosida	102 ± 11	0,11 ± 0,01		99,93 ± 1,00		130S
TCC	PCL	MS P80	Curcumina	297	1,4	-29,59 ± 3,7	91,0 ± 0,10	6,2 ± 0,14	131S
TCC	PCL	MS P80	Curcumina	215 ± 3 ^{DL}	1,69 ^{SPAN}	-24,8 ± 0,5	100	5,9 ± 0,0	132S
TCC	PCL	MS P80	Amiodarona e/ou fluconazol	~ 200	~ 0,22	~ -8		~ 6,0	133S
TCC	PCL (Mw: 14 kg mol ⁻¹)	MS P80 LS75	Ácido Fusídico	121 ± 8	0,13 ± 0,00	-13,3 ± 2,3	93 ± 1	6,46 ± 0,09	134S

Tabela 1S. Nanocápsulas de núcleo lipídico revestidas por poloxamer 188, polissorbato 80 e/ou lecitina (cont.)

Óleo	Polímero	Tenso-ativos	Fármaco ou substância ativa	Tamanho de partícula (nm)*	PDI	PZ (mV)	EE (%)	pH	Ref.
TCC	PCL	MS	Curcumina	254 ± 1	0,128 ± 0,028	-31,2 ± 0,1	5,9 ± 0,06	135S	
		P80		LNC	LNC	LNC			
				253 ± 2	0,097 ± 0,03	-31,5 ± 3,2	5,7 ± 0,04		
			Curcumina-LNC		Curcumina-LNC	Curcumina-LNC	Curcumina-LNC		
TCC	PCL	MS P80	Ambrisentana	204 ± 9	0,13 ± 0,02	-11,5 ± 0,02	78,13±2,4	4,91 ± 0,02	136S

*Diâmetro obtido por espalhamento de luz dinâmico. ^{DL}Diâmetro mensurado por difração de laser.

^{NTA}Diâmetro analisado por análise de rastreamento de nanopartículas. **Nanocápsulas de núcleo lipídico incorporadas em formulação semissólida. #Nanocápsulas de núcleo lipídico como formulação sólida. PDI: índice de polidispersão. PZ: potencial zeta. EE: eficiência de encapsulação. TCC: triglycerídeos dos ácidos cáprico e caprílico. TCM: triglycerídeos de cadeia média. PCL: poli(ϵ -caprolactona). MS: monoestearato de sorbitano. P80: polissorbato 80. LS75: lipoid S75®. Mn: massa molar média numérica. Mw: massa molar média ponderada. Ref.: Referências.

Tabela 2S. Nanocápsulas de núcleo lipídico revestidas com quitosana

Óleo	Polímero	Tensoativo	Fármaco ou substância	Revestimento	Tamanho de partícula (nm)*	PDI	PZ (mV)	EE (%)	pH	Ref.
TCC	PCL (Mw: 14 kg mol ⁻¹)	MS P80 LS75	Dapsona	Quitosana LMW	114 ± 4	0,17 ± 0,05	+21±6	82 ± 1	4,15 ± 0,16	19S
TCC	PCL	MS P80 Lecitina	-	Quitosana	145	0,23	+12,8	-	-	85S
Óleo de copaíba	PCL	MS P80 LS75	Imiquimode	Quitosana MMW	213 ± 10	0,13 ± 0,08	+15,3 ± 0,4	57 ± 0,7	5,02 ± 0,07	94S
Óleo de semente de uva	PCL	MS P80 LS75	Fenitoína	Quitosana LMW	168 ± 4	0,15 ± 0,01	+16,2 ± 1,5	93 ± 1,02	-	137S
TCC	PCL (Mw: 14 kg mol ⁻¹)	MS P80 LS75	Sinvastatina	Quitosana LMW ou HMW	168 ± 5 LMW 185 ± 7 HMW	0,12 ± 0,04 LMW 0,16 ± 0,03 HMW	+28,95 ± 2,1 LMW +33,8 ± 5,5 HMW	Encapsulação completa	4,1 ± 0,02 LMW 4,4 ± 0,04 HMW	27S
TCC	PCL	MS P80	-	Quitosana LMW	163 ± 1 ^{DL}	1,3 ± 0,4 ^{SPAN}	+19,5 ± 0,6	-	4,1 ± 0,05	26S
TCC	PCL (Mw: 14 kg mol ⁻¹)	MS P80 LS75	-	Quitosana LMW	190 ± 11 ^{NTA}		-	-	-	118S
TCC	PCL	MS P80 LS75	Olanzapina	Quitosana LMW	162 ± 12	0,238 ± 0,015	+6,9 ± 0,7	42 ± 2	5,9 ± 0,2	138S
Óleo de semente de uva	PCL	MS P80 LS75	Fenitoína	Quitosana LMW	162 ± 2	0,15 ± 0,02	+16,3 ± 1,32	~ 95	3,99 ± 0,03	139S
TCC	PCL	MS P80 Lecitina	Dutasterida	Quitosana LMW	224,9 ± 3,4	0,23 ± 0,01	+40,2 ± 0,8	94,7 ± 3,0	~ 4,7	112S
TCM	PCL	MS P80 Fosfati-dilcolina de soja (75 %)	Óleo de Pequi	Quitosana MMW	197 ± 1,5	0,170 ± 0,013	+22,1 ± 0,9	-	4,1 2± 0,130	125S
TCC	PCL	MS P80	-	Quitosana LMW	166 ± 1 ^{DL}		+20,2 ± 0,6	-	4,2 ± 0,05	117S
TCC	PCL (Mw: 14 kg mol ⁻¹)	MS P80 LS75	Ácido Fusídico	Quitosana LMW	144 ± 6	0,19 ± 0,00	+18,5 ± 1	86 ± 1	4,08 ± 0,03	134S
TCC	PCL	MS P80	Curcumina	Quitosana LMW	250 ± 2 ^{DL}	1,50 ± 0,00 ^{SPAN}	22,9 ± 0,3	100	4,3 ± 0,0	132S
TCC	PCL	MS P80	Curcumina	Quitosana LMW	504 ± 22 LNC	0,291 ± 0,005 LNC	+33,1 ± 7 LNC	-	4,1 ± 0,03 LNC	135S
					732 ± 26 Curcumina-LNC	0,34 ± 0,0 Curcumina-LNC	+16 ± 1,5 Curcumina-LNC	-	3,9 ± 0,02 Curcumina-LNC	
TCC	PCL (Mw: 14 kg mol ⁻¹)	MS P80 LS75	Bozepinibe	LMW (Mw: 21 kDa)	133 ± 13	0,17 ± 0,03	+9,03 ± 1,9	100	4,04 ± 0,28	140S

*Diâmetro obtido por espalhamento de luz dinâmico. ^{DL}Diâmetro mensurado por difração de laser.

**Nanocápsulas de núcleo lipídico incorporadas em formulação semissólida. #Nanocápsulas de núcleo lipídico como formulação sólida. PDI: índice de polidispersão. PZ: potencial zeta. EE: eficiência de encapsulação. TCC: triglicerídeos dos ácidos cáprico e caprílico. TCM: triglicerídeos de cadeia média. PCL: poli(ϵ -caprolactona). MS: monoesterarato de sobitano. P80: polissorbato 80. LS75: lipoid S75®. LMW: baixo peso molecular; MMW: médio peso molecular. HMW: alto peso molecular. Mw: massa molar média ponderada. Ref.: Referências.

Tabela 3S. Nanocápsulas de núcleo lipídico revestidas com PEG

Óleo	Polímero	Tenso-ativo	Fármaco ou substância ativa	Revesti-mento	Tamanho de partícula (nm)*	PDI	PZ (mV)	EE (%)	pH	Ref.
TCC	PCL	MS P80	Meloxicam	PEG 4000	269 ± 3		-32,1 ± 1,5	~ 98	-	25S
TCC	PCL	MS P80	-	PEG 6000	189 ± 1 ^{DL}	1,2 ± 0,4 ^{SPAN}	-31,4 ± 0,9	-	6,7 ± 0,0	26S
TCC	PCL	MS P80	-	PEG 6000	188 ± 1 ^{DL}		-31,2 ± 0,9	-	6,4 ± 0,01	117S
TCC	PCL	MS P80	Curcumina	PEG 6000	210 ± 2 ^{DL}	1,6 ± 0,02 ^{SPAN}	-26,5 ± 0,7	100	5,3 ± 0,0	132S
TCC	PCL	MS P80	Curcumina	PEG 6000	265 ± 3 LNC		-28,7 ± 2,5 LNC		4,8 ± 0,08 LNC	135S
					255 ± 1 Curcumin-a-LNC		-23,9 ± 2,2 Curcumina-LNC		4,6 ± 0,04 Curcumina-LNC	

*Diâmetro obtido por espalhamento de luz dinâmico. ^{DL}Diâmetro mensurado por difração de laser. PDI: índice de polidispersão. PZ: potencial zeta. EE:eficiência de encapsulação. TCC: triglicerídeos dos ácidos cáprico e caprílico. PCL: poli(ϵ -caprolactona). MS: monoesterarato de sobitano. P80: polissorbato 80. PEG: polietilenoglicol. Ref.: Referências.

Tabela 4S. Nanocápsulas de núcleo lipídico com funcionalização de superfície

Óleo	Polímero	Tensoativo	Fármaco ou substância ativa	Revestimento	Íon metálico	Ligante	Tamanho de partícula (nm)*	PDI	PZ (mV)	EE/EC (%)	Ref.
TCC	PCL (Mw: 14 kg mol ⁻¹)	MS P80 LS75	-	Quitosana LMW	Zn ²⁺	scFv anti-LDL(-)	146-197	0,16-0,25	-	-	15S
TCC	PCL (Mw: 14 kg mol ⁻¹)	MS P80 LS75	-	Quitosana LMW	Fe ²⁺	Laronidase	71 ± 1	0,14 ± 0,01	-	-	141S
TCC	PCL (Mw: 14 kg mol ⁻¹)	MS P80 LS75	-	Quitosana LMW	Zn ²⁺	scFv anti-LDL (-)	182 ± 6,5	0,23 ± 0,03	-	-	142S
TCC	PCL (Mw: 14 kg mol ⁻¹)	MS P80 LS75	-	Quitosana LMW	Zn ²⁺	Bromelina	135 ± 1	0,18 ± 0,01	+23 ± 3	-	22S
TCC	PCL (Mw: 14 kg mol ⁻¹)	MS P80 LS75	MTX (OEt) ₂ e MTX	Quitosana LMW	Zn ²⁺	Phe ou MTX	160 ± 32	0,13 ± 0,03	+14 ± 4	99 ± 1	24S
						Phe-Zn-MLNC-MTX(OEt) ₂	148 ± 33	0,14 ± 0,04	Phe-Zn-MLNC-MTX(OEt) ₂	Phe-Zn-MLNC-MTX(OEt) ₂	Phe-Zn-MLNC-MTX(OEt) ₂
						MTX(OEt) ₂ -Zn-MLNC	144 ± 9	0,16 ± 0,03	MTX(OEt) ₂ -Zn-MLNC	+17 ± 5	97 ± 5
TCC	PCL (Mw: 14 kg mol ⁻¹)	MS P80 LS75	DOX	Quitosana LMW	Zn ²⁺	RGD	146 ± 20	0,09 ± 0,05	+13,8 ± 2,3	92,49 ± 7,17	23S
							RGD-MCMN-DOX100	RGD-MCMN-DOX100	RGD-MCMN-DOX100	RGD-MCMN-DOX100	RGD-MCMN-DOX100
							215 ± 25	0,08 ± 0,05	RGD-MCMN-DOX500	+16,4 ± 1,5	91,58 ± 0,70
TCC	PCL (Mw: 14 kg mol ⁻¹)	MS P80 LS75	Furosemida	Quitosana LMW	Zn ²⁺	Captopril	153 ± 6	0,18 ± 0,03	+12,2 ± 1,1	97,47	29S
TCC	PCL (Mw: 14 kg mol ⁻¹)	MS P80 LS75	-	Quitosana LMW	Au ³⁺	BCZ	183 ± 21	0,22 ± 0,04	+18,5 ± 1,9	-	143S

Tabela 4S. Nanocápsulas de núcleo lipídico com funcionalização de superfície (cont.)

Óleo	Polímero	Tensoativo	Fármaco ou substância ativa	Revestimento	Íon metálico	Ligante	Tamanho de partícula (nm)*	PDI	PZ (mV)	EE/EC (%)	Ref.
Alga oil	PCL (Mw: 14 kg mol ⁻¹)	MS P80 LS75		Quitosana LMW	Zn ²⁺	Anti-PECAM-1	163,5 ± 5,33	0,21 ± 0,01	+5,00 ± 0,95	94,8 ± 3,3	144S
TCC	PCL (Mw: 14 kg mol ⁻¹)	MS P80 LS75		Quitosana LMW	Zn ²⁺	scFv anti-LDL (-)	121 ± 8	0,2		85	145S
Alfa-bisabolol	Mistura de PCL Mn: 80 kg mol ⁻¹ e 14 kg mol ⁻¹ (9:1 m/m)	MS P80 LS75	DOX	Quitosana LMW	Zn ²⁺	RGD	138 ± 2	0,19 ± 0,01	+13,4 ± 1,0	65,89 ± 3,63 (DOX) / 92,21 ± 0,1 (RGD)	146S
TCC	PCL (Mw: 14 kg mol ⁻¹)	MS P80 LS75		Quitosana LMW	Zn ²⁺	DOX e Ácido Fólico	123 ± 4	0,22 ± 0,0	+12 ± 1,32	80,0 ± 1,89 DOX 74 ± 6,64 Ácido fólico	30S
TCC	PCL (Mw: 14 kg mol ⁻¹)	MS P80 LS75		Quitosana LMW	Zn ²⁺	DOX e Ácido Fólico	128 ± 19	0,21 ± 0,04	+10 ± 2	80,4 ± 1,48 DOX 75 ± 6,62 Ácido fólico	31S
TCC	PCL (Mw: 14 kg mol ⁻¹)	MS P80 LS75	-	Quitosana LMW	Au ³⁺	BCZ ou EGFRvIII	176 ± 9 BCZ 133 ± 3 EGFR-vIII	0,21 ± 0,03 BCZ 0,20 ± 0,01 EGFRvIII	-	+13 ± 1 EGFRvIII	147S

*Diâmetro obtido por espalhamento de luz dinâmico. PDI: índice de polidispersão. PZ: potencial zeta. EE: eficiência de encapsulação. CE: eficiência de complexação. TCC: triglycerídeos dos ácidos cáprico e caprílico. PCL: poli(ϵ -caprolactona). MS: monoestearato de sorbitano. P80: polissorbato 80. LS75: lipoid S75®. LMW: baixo peso molecular. scFv- anti LDL(-): fragmento variável de cadeia simples anti LDL eletronegativa. MTX: metotrexato. MTX(OEt)₂: éster dietílico de metotrexato. Phe: fenilalanina. anti-PECAM-1: anticorpo anti-molécula de adesão celular endotelial plaquetária. DOX: doxorrubicina. BCZ: bevacizumab. RGD: ácido arginilglicilaspártico. Mn: massa molar média numérica. MW: massa molar média ponderada. Ref.: Referências.

Tabela 5S. Estudos relacionados a toxicidade das LNCs

Natureza do estudo	Modelo experimental	Tipo de teste e/ou Via de administração	Concentração de partículas ou volume de formulação administrado	Substância ativa e concentração administrada	Ref.
In vivo	Ratos wistar machos	Teste de toxicidade aguda - via intraperitoneal	Teste de toxicidade aguda: $18,03 \times 10^{12}$ a $72,12 \times 10^{12}$ de nanocápsulas por kg (dose única)	-	14S
		Testes de toxicidade subcrônica - via intraperitoneal	Testes de toxicidade subcrônica: $6,01 \times 10^{12}$ a $18,03 \times 10^{12}$ de nanocápsulas por kg (uma dose diária durante 28 dias)	-	
In vivo	Ratos wistar machos	Teste de toxicidade aguda - via intradérmica	Teste de toxicidade aguda: $7,2 \times 10^{12}$ de nanocápsulas por kg (dose única)	-	49S
		Testes de toxicidade subcrônica - via intradérmica	Testes de toxicidade subcrônica: $1,8 \times 10^{12}$ a $5,4 \times 10^{12}$ de nanocápsulas por kg (uma dose diária durante 28 dias)	-	
In vivo	Ratos wistar machos	Testes de toxicidade subcrônica - intraperitoneal	Testes de toxicidade subcrônica - via intraperitoneal: $6,01 \times 10^{12}$ a $18,03 \times 10^{12}$ de nanocápsulas por kg (uma dose diária durante 28 dias)	-	64S
		Testes de toxicidade subcrônica - via intradérmica	Testes de toxicidade subcrônica - via intradérmica: $1,8 \times 10^{12}$ a $5,4 \times 10^{12}$ de nanocápsulas por kg (uma dose diária durante 28 dias)	-	
In vivo	Ratos wistar machos	Teste de cardiotoxicidade aguda - Via intravenosa	$28,7 \times 10^{12}$ a 115×10^{12} de nanocápsulas por kg (dose única)	-	79S
In vivo	Nematóide <i>Caenorhabditis elegans</i>	Teste de toxicidade aguda - Dose letal 50 (DL ₅₀)	$2,37 \times 10^{12}$ a $118,5 \times 10^{12}$ de nanocápsulas por mL	-	62S
In vivo	Ratos wistar machos	Oral	10 mL kg^{-1} (uma dose diária durante 14 dias)	-	26S
In vivo	Ratos wistar fêmeas	Oral	10 mL kg^{-1} (uma dose diária durante 14 dias)	-	117S
In vivo	Larvas de <i>Galleria mellonella</i>	Injeção na hemocele	$3,75 \times 10^{-14}$ a $3,75 \times 10^{-10}$ mols de nanocápsulas por kg de larva	-	118S
In vivo	Camundongos Swiss machos	Oral	17 mL kg^{-1}	Curcumina (10 mg kg^{-1}) e/ou Meloxican nanoencapsulados (5 mg kg^{-1}) – uma dose a cada 48 h, totalizando 6 doses	113S
In vivo	Camundongos C57BL/6 machos	Intragástrico	-	Meloxican nanoencapsulados 5 mg kg^{-1} por 7 dias alternadamente	25S
Ex vivo	Mucosa nasal de coelhos	Análises histológicas	200 μL - 4 horas de exposição	Sinvastatina nanoencapsulada	27S

Tabela 5S. Estudos relacionados a toxicidade das LNCs (cont.)

Natureza do estudo	Modelo experimental	Tipo de teste e/ou Via de administração	Concentração de partículas ou volume de formulação administrado	Substância ativa e concentração administrada	Ref.
<i>In vitro</i>	Linhagem celular epitelial de córnea (SIRC)	Linhagem celular epitelial de córnea (SIRC) - Ensaio de citotoxicidade	-	Prednisolona nanoencapsulada 0,06 a 0,37 mmol L ⁻¹ por 48 e 72 horas	44S
	Ensaio em membrana corioalantoide de ovos embrionados de galinha (HET-CAM)	Ensaio em membrana corioalantoide de ovos embrionados de galinha (HET-CAM) - teste de irritação	HET-CAM - 300 µL		
<i>In vivo</i>	Ratos Wistar fêmeas prenhas	Teste de toxicidade fetal e materna - as fêmeas prenhas receberam tratamento oral	-	Curcumina nanoencapsulada 2 mg kg ⁻¹ do 7 ao 13º dia de gestação	123S
<i>In vivo</i>	Modelo de embrião de galinha	Teste de teratogênese Potencial irritante (HET-CAM)	-	Curcumina nanoencapsulada 10 mL kg ⁻¹ de ovo	135S
<i>In vitro</i>	Linhagem celular epitelial pulmonar (A549)	Ensaio de citotoxicidade e genotoxicidade	-	Melatonina nanoencapsulada 10 µg mL ⁻¹	63S
<i>In vivo</i>	Nematóide <i>Caenorhabditis elegans</i>	Peroxidação lipídica	-	Melatonina nanoencapsulada 10 mg mL ⁻¹	109S
<i>In vivo</i>	Células de raiz de <i>Allium cepa</i>	Genotoxicidade	-	Nanocápsulas com núcleo composto por óleo de farelo de arroz, soja ou semente de girassol	48S

REFERÊNCIAS

- 1S. Fessi, H.; Puisieux, F.; Devissaguet, J. P.; Ammoury, N.; Benita, S.; *Int. J. Pharm.* **1989**, *55*, 1. [Crossref]
- 2S. Guterres, S. S.; Weiss, V.; Freitas, L. L.; Pohlmann, A. R.; *Drug Delivery* **2000**, *7*, 195. [Crossref]
- 3S. Guterres, S. S.; Müller, C. R.; Michalowski, C. B.; Pohlmann, A. R.; Costa, T. D.; *STP Pharma Sci.* **2001**, *11*, 229. [Link] acessado em julho 2023
- 4S. Pohlmann, A. R.; Soares, L. U.; Cruz, L.; de Silveira, N. P.; Guterres, S. S.; *Curr. Drug Delivery* **2004**, *1*, 103. [Crossref]
- 5S. Cruz, L.; Schaffazick, S. R.; Costa, T. D.; Soares, L. U.; Mezzalira, G.; da Silveira, N. P.; Schapoval, E. E. S.; Pohlmann, A. R.; Guterres, S. S.; *J. Nanosci. Nanotechnol.* **2006**, *6*, 154. [Crossref]
- 6S. Jäger, A.; Stefani, V.; Guterres, S. S.; Pohlmann, A. R.; *Int. J. Pharm.* **2007**, *338*, 297. [Crossref]
- 7S. Bernardi, A.; Frozza, R. L.; Jäger, E.; Figueiró, F.; Bavaresco, L.; Salbego, C.; Pohlmann, A. R.; Guterres, S. S.; Battastini, A. M. O.; *Eur. J. Pharmacol.* **2008**, *586*, 24. [Crossref]
- 8S. Jäger, E.; Venturini, C. G.; Poletto, F. S.; Colomé, L. M.; Pohlmann, J. P. U.; Bernardi, A.; Battastini, A. M. O.; Guterres, S. S.; Pohlman, A. R.; *J. Biomed. Nanotechnol.* **2009**, *5*, 130. [Crossref]
- 9S. Fiel, L. A.; Rebêlo, L. M.; de Santiago, T. M.; Adorne, M. D.; Guterres, S. S.; Sousa, J. S.; Pohlmann, A. R.; *Soft Matter* **2011**, *7*, 7240. [Crossref]
- 10S. Venturini, C. G.; Jäger, E.; Oliveira, C. P.; Bernardi, A.; Battastini, A. M. O.; Guterres, S. S.; Pohlmann, A. R.; *Colloids Surf., A* **2011**, *375*, 200. [Crossref]
- 11S. Jornada, D. S.; Fiel, L. A.; Bueno, K.; Gerent, J. F.; Petzhold, C. L.; Beck, R. C. R.; Guterres, S. S.; Pohlmann, A. R.; *Soft Matter* **2012**, *8*, 6646. [Crossref]
- 12S. Bender, E. A.; Adorne, M. D.; Colomé, L. M.; Abdalla, D. S. P.; Guterres, S. S.; Pohlmann, A. R.; *Int. J. Pharm.* **2012**, *426*, 271. [Crossref]
- 13S. Oliveira, C. P.; Venturini, C. G.; Donida, B.; Poletto, F. S.; Guterres, S. S.; Pohlmann, A. R.; *Soft Matter* **2013**, *9*, 1141. [Crossref]
- 14S. Bulcão, R. P.; Freitas, F. A.; Venturini, C. G.; Dallegrave, E.; Durgante, J.; Göethel, G.; Cerski, C. T. S.; Zielinsky, P.; Pohlmann, A. R.; Guterres, S. S.; Garcia, S. C.; *Toxicol. Sci.* **2013**, *132*, 162. [Crossref]
- 15S. Bender, E. A.; Cavalcante, M. F.; Adorne, M. D.; Colomé, L. M.; Guterres, S. S.; Abdalla, D. S. P.; Pohlmann, A. R.; *Pharm. Res.* **2014**, *31*, 2975. [Crossref]

- 16S. Lucas, C. G.; Remião, M. H.; Komninou, E. R.; Domingues, W. B.; Haas, C.; de Leon, P. M. M.; Campos, V. F.; Ourique, A.; Guterres, S. S.; Pohlmann, A. R.; Basso, A. C.; Seixas, F. K.; Beck, R. C. R.; Collares, T.; *Reprod. Toxicol.* **2015**, *58*, 131. [Crossref]
- 17S. Bianchin, M. D.; Kulkamp-Guerreiro, I. C.; de Oliveira, C. P.; Contri, R. V.; Guterres, S. S.; Pohlmann, A. R.; *J. Drug Delivery Sci. Technol.* **2015**, *30*, 180. [Crossref]
- 18S. Rodrigues, S. F.; Fiel, L. A.; Shimada, A. L.; Pereira, N. R.; Guterres, S. S.; Pohlmann, A. R.; Farsky, S. H.; *J. Biomed. Nanotechnol.* **2016**, *12*, 986. [Crossref]
- 19S. Cé, R.; Marchi, J. G.; Bergamo, V. Z.; Fuentefria, A. M.; Lavayen, V.; Guterres, S. S.; Pohlmann, A. R.; *Colloids Surf., A* **2016**, *511*, 153. [Crossref]
- 20S. Drewes, C. C.; Fiel, L. A.; Bexiga, C. G.; Asbahr, A. C. C.; Uchiyama, M. K.; Cogliati, B.; Araki, K.; Guterres, S. S.; Pohlmann, A. R.; Farsky, S. P.; *Int. J. Nanomed.* **2016**, *11*, 1261. [Crossref]
- 21S. Paese, K.; Ortiz, M.; Frank, L. A.; Kulkamp-Guerreiro, I. C.; Rolim, C. M. B.; Barros, D. M.; Pohlmann, A. R.; Guterres, S. S.; *AAPS PharmSciTech* **2017**, *18*, 212. [Crossref]
- 22S. Oliveira, C. P.; Prado, W. A.; Lavayen, V.; Büttnerbender, S. L.; Beckenkamp, A.; Martins, B. S.; Lüdtke, D. S.; Campo, L. F.; Rodembusch, F. S.; Buffon, A.; Pessoa, A.; Guterres, S. S.; Pohlmann, A. R.; *Pharm. Res.* **2017**, *34*, 438. [Crossref]
- 23S. Antonow, M. B.; Franco, C.; Prado, W.; Beckenkamp, A.; Silveira, G. P.; Buffon, A.; Guterres, S. S.; Pohlmann, A. R.; *Nanomaterials* **2017**, *8*, 2. [Crossref]
- 24S. Oliveira, C. P.; Büttnerbender, S. L.; Prado, W. A.; Beckenkamp, A.; Asbahr, A. C.; Buffon, A.; Guterres, S. S.; Pohlmann, A. R.; *Nanomaterials* **2018**, *8*, 7. [Crossref]
- 25S. Nishihira, V. S. K.; Fontana, B. D.; Ianiski, F. R.; de Almeida, H. S.; Posser, C. P.; Dias, J. B.; Parodi, C. B.; Piva, M. M.; Gris, A.; Mendes, R. E.; Duarte, M. M. M. F.; Sagrillo, M. R.; Luchese, C.; Rech, V. C.; Vaucher, R. A.; *Biomed. Pharmacother.* **2018**, *107*, 1259. [Crossref]
- 26S. Pereira, M. P.; de Gomes, M. G.; Izoton, J. C.; Nakama, K. A.; dos Santos, R. B.; Pinto Savall, A. S.; Ramalho, J. B.; Roman, S. S.; Luchese, C.; Cibin, F. W.; Pinton, S.; Haas, S. E.; *Biomed. Pharmacother.* **2019**, *116*, 109014. [Crossref]
- 27S. Bruinsma, F. A.; Pigana, S.; Aguirre, T.; Souto, G. D.; Pereira, G. G.; Bianchera, A.; Fasiolo, L. T.; Colombo, G.; Marques, M.; Pohlmann, A. R.; Guterres, S. S.; Sonvico, F.; *Pharmaceutics* **2019**, *11*, 1. [Crossref]
- 28S. Sandri, S.; Hebeda, C. B.; Loiola, R. A.; Calgaroto, S.; Uchiyama, M. K.; Araki, K.; Frank, L. A.; Paese, K.; Guterres, S. S.; Pohlmann, A. R.; Farsky, S. H. P.; *Nanomedicine* **2019**, *14*, 1429. [Crossref]
- 29S. Michalowski, C. B.; Arbo, M. D.; Altknecht, L.; Anciuti, A. N.; Abreu, A. S. G.; Alencar, L. M. R.; Pohlmann, A. R.; Garcia, S. C.; Guterres, S. S.; *Pharmaceutics* **2020**, *12*, 1. [Crossref]

- 30S. Cé, R.; Lavayen, V.; Couto, G. K.; de Marchi, J. G. B.; Pacheco, B. P.; Natividade, L. A.; Fracari, T. O.; Ciocheta, T. M.; Cristo, A. C. S.; Jornada, D. S.; Guterres, S. S.; Seixas, F.; Collares, T.; Pohlmann, A. R.; *Pharm. Res.* **2021**, *38*, 301. [Crossref]
- 31S. Cé, R.; Couto, G. K.; Pacheco, B. Z.; Dallemand, D. R.; Paschoal, J. D.; Pacheco, B. S.; Guterres, S. S.; Seixas, F.; Collares, T.; Pohlmann, A. R.; *Eur. J. Pharm. Sci.* **2021**, *165*, 105943. [Crossref]
- 32S. Figueiró, F.; Bernardi, A.; Frozza, R. L.; Terroso, T.; Zanotto-Filho, A.; Jandrey, E. H. F.; Moreira, J. C. F.; Salbego, C. G.; Edelweiss, M. I.; Pohlmann, A. R.; Guterres, S. S.; Battastini, A. M. O.; *J. Biomed. Nanotechnol.* **2013**, *9*, 516. [Crossref]
- 33S. Zanotto-Filho, A.; Coradini, K.; Braganhol, E.; Schröder, R.; de Oliveira, C. M.; Simões-Pires, A.; Battastini, A. M. O.; Pohlmann, A. R.; Guterres, S. S.; Forcelini, C. M.; Beck, R. C. R.; Moreira, J. C. F.; *Eur. J. Pharm. Biopharm.* **2013**, *83*, 156. [Crossref]
- 34S. Bernardi, A.; Frozza, R. L.; Hoppe, J. B.; Salbego, C.; Pohlmann, A. R.; Guterres, S. S.; *Int. J. Nanomed.* **2013**, *8*, 711. [Crossref]
- 35S. Frozza, R. L.; Bernardi, A.; Hoppe, J. B.; Meneghetti, A. B.; Battastini, A. M. O.; Pohlmann, A. R.; Guterres, S. S.; Salbego, C.; *J. Biomed. Nanotechnol.* **2013**, *9*, 2086. [Crossref]
- 36S. Frozza, R. L.; Bernardi, A.; Hoppe, J. B.; Meneghetti, A. B.; Matté, A.; Battastini, A. M. O.; Pohlmann, A. R.; Guterres, S. S.; Salbego, C.; *Mol. Neurobiol.* **2013**, *47*, 1066. [Crossref]
- 37S. Hoppe, J. B.; Coradini, K.; Frozza, R. L.; Oliveira, C. M.; Meneghetti, A. B.; Bernardi, A.; Pires, E. S.; Beck, R. C. R.; Salbego, C. G.; *Neurobiol. Learn. Mem.* **2013**, *106*, 134. [Crossref]
- 38S. Bueno, K.; Adorne, M.; Jornada, D.; da Fonseca, F.; Guterres, S.; Pohlmann, A.; *Curr. Pharm. Des.* **2013**, *19*, 7294. [Crossref]
- 39S. Jaques, J. A. S.; Doleski, P. H.; Castilhos, L. G.; da Rosa, M. M.; Souza, V. C. G.; Carvalho, F. B.; Marisco, P.; Thorstenberg, M. L. P.; Rezer, J. F. P.; Ruchel, J. B.; Coradini, K.; Beck, R. C. R.; Rubin, M. A.; Schetinger, M. R. C.; Leal, D. B. R.; *Neurobiol. Learn. Mem.* **2013**, *100*, 98. [Crossref]
- 40S. Kükamp-Guerreiro, I. C.; Souza, M. N.; Bianchin, M. D.; Isoppe, M.; Freitas, J. S.; Alves, J. A.; Piovezan, A. P.; Pohlmann, A. R.; Guterres, S. S.; *Acta Cirúrgica Brasileira* **2013**, *28*, 708. [Crossref]
- 41S. Dimer, F. A.; Pohlmann, A. R.; Guterres, S. S.; *J. Nanosci. Nanotechnol.* **2013**, *13*, 8144. [Crossref]
- 42S. Melero, A.; Ourique, A. F.; Guterres, S. S.; Pohlmann, A. R.; Lehr, C. M.; Beck, R. C. R.; Schaefer, U.; *Skin Pharmacol. Physiol.* **2014**, *27*, 217. [Crossref]
- 43S. de Brum, T. L.; Fiel, L. A.; Contri, R. V.; Guterres, S. S.; Pohlmann, A. R.; *J. Nanosci. Nanotechnol.* **2015**, *15*, 773. [Crossref]

- 44S. Katzer, T.; Chaves, P.; Bernardi, A.; Pohlmann, A.; Guterres, S. S.; Beck, R. C. R.; *J. Microencapsulation* **2014**, *31*, 519. [Crossref]
- 45S. Pissinate, K.; Martins-Duarte, S. E.; Schaffazick, S. R.; de Oliveira, C. P.; Vommaro, R. C.; Guterres, S. S.; Pohlmann, A. R.; de Souza, W.; *Parasitol. Res.* **2014**, *113*, 555. [Crossref]
- 46S. Dimer, F. A.; Ortiz, M.; Pase, C. S.; Roversi, K.; Friedrich, R. B.; Pohlmann, A. R.; Burger, M. E.; Guterres, S. S.; *J. Biomed. Nanotechnol.* **2014**, *10*, 1137. [Crossref]
- 47S. Dimer, F. A.; Pigatto, M. C.; Pohlmann, A. R.; Costa, T. D.; Guterres, S. S.; *Quim. Nova* **2014**, *37*, 1371. [Crossref]
- 48S. Rigo, L. A.; Frescura, V.; Fiel, L.; Coradini, K.; Ourique, A. F.; Emanuelli, T.; Quatrin, A.; Tedesco, S.; da Silva, C. B.; Guterres, S. S.; Pohlmann, A. R.; Beck, R. C. R.; *Pharm. Dev. Technol.* **2014**, *19*, 789. [Crossref]
- 49S. Bulcão, R. P.; de Freitas, F. A.; Dallegrave, E.; Venturini, C. G.; Baierle, M.; Durgante, J.; Sauer, E.; Cassini, C.; Cerski, C. T.; Zielinsky, P.; Salvador, M.; Pohlmann, A. R.; Guterres, S. S.; Garcia, S. C.; *Eur. J. Pharm. Biopharm.* **2014**, *86*, 167. [Crossref]
- 50S. Schultze, E.; Ourique, A.; Yurgel, V. C.; Begnini, K. R.; Thurow, H.; Leon, P. M. M.; de Campos, V. F.; Dellagostin, O. A.; Guterres, S. R.; Pohlmann, A. R.; Seixas, F. K.; Beck, R. C. R.; Collares, T.; *Eur. J. Pharm. Biopharm.* **2014**, *87*, 55. [Crossref]
- 51S. Yurgel, V. C.; Oliveira, C. P.; Begnini, K. R.; Schultze, E.; Thurow, H. S.; Leon, P. M. M.; Dellagostin, O. A.; Campos, V. F.; Beck, R. C. R.; Guterres, S. S.; Collares, T.; Pohlmann, A. R.; Seixas, F. K.; *Int. J. Nanomed.* **2014**, *9*, 1583. [Crossref]
- 52S. Villalba, B. T.; Ianiski, F. R.; Wilhelm, E. A.; Fernandes, R. S.; Alves, M. P.; Luchese, C.; *Life Sci.* **2014**, *115*, 36. [Crossref]
- 53S. Friedrich, R. B.; Dimer, F. A.; Guterres, S. S.; Beck, R. C. R.; Pohlmann, A. R.; *J. Biomed. Nanotechnol.* **2014**, *10*, 1599. [Crossref]
- 54S. Rigo, L. A.; da Silva, C. R.; de Oliveira, S. M.; Cabreira, T. N.; da Silva, C. B.; Ferreira, J.; Beck, R. C. R.; *Eur. J. Pharm. Biopharm.* **2015**, *93*, 11. [Crossref]
- 55S. Friedrich, R. B.; Kann, B.; Coradini, K.; Offerhaus, H. L.; Beck, R. C. R.; Windbergs, M.; *Eur. J. Pharm. Sci.* **2015**, *78*, 204. [Crossref]
- 56S. Coradini, K.; Friedrich, R. B.; Fonseca, F. N.; Vencato, M. S.; Andrade, D. F.; Oliveira, C. M.; Battistel, A. P.; Guterres, S. S.; da Rocha, M. I. U. M.; Pohlmann, A. R.; Beck, R. C. R.; *Eur. J. Pharm. Sci.* **2015**, *78*, 163. [Crossref]
- 57S. Boechat, A. L.; de Oliveira, C. P.; Tarrago, A. M.; da Costa, A. G.; Malheiro, A.; Guterres, S. S.; Pohlmann, A. R.; *Int. J. Nanomed.* **2015**, *10*, 6603. [Crossref]

- 58S. Roversi, K.; Benvegnú, D. M.; Roversi, K.; Trevizol, F.; Vey, L. T.; Elias, F.; Fracasso, R.; Motta, M. H.; Ribeiro, R. F.; Hausen, B. S.; Moresco, R. N.; Garcia, S. C.; da Silva, C. B.; Burger, M. E.; *J. Nanopart. Res.* **2015**, *17*, 199. [Crossref]
- 59S. Savian, A. L.; Rodrigues, D.; Weber, J.; Ribeiro, R. F.; Motta, M. H.; Schaffazick, S. R.; Adams, A. I. H.; de Andrade, D. F.; Beck, R. C. R.; da Silva, C. B.; *Mater. Sci. Eng., C* **2015**, *46*, 69. [Crossref]
- 60S. Gressler, L. T.; Oliveira, C. B.; Coradini, K.; Rosa, L. D.; Grando, T. H.; Baldissera, M. D.; Zimmermann, C. E.; da Silva, A. S.; Almeida, T. C.; Hermes, C. L.; Wolkmer, P.; Silva, C. B.; Moreira, K. L. S.; Beck, R. C. R.; Moresco, R. N.; da Veiga, M. L.; Stefani, L. M.; Monteiro, S. G.; *Parasitology* **2015**, *142*, 439. [Crossref]
- 61S. Dimer, F. A.; Pigatto, M. C.; Boque, C. A.; Pase, C. S.; Roversi, K.; Pohlmann, A. R.; Burger, M. E.; Rates, S. M. K.; Costa, T. D.; Guterres, S. S.; *J. Biomed. Nanotechnol.* **2015**, *11*, 1482. [Crossref]
- 62S. Charão, M. F.; Souto, C.; Brucker, N.; Barth, A.; Jornada, D. S.; Fagundez, D.; Ávila, D. S.; Eifler-Lima, V. L.; Guterres, S. S.; Pohlmann, A. R.; Garcia, S. C.; *Int. J. Nanomed.* **2015**, *10*, 5093. [Crossref]
- 63S. Charão, M. F.; Baierle, M.; Gauer, B.; Goethel, G.; Fracasso, R.; Paese, K.; Brucker, N.; Moro, A. M.; Bubols, G. B.; Dias, B. B.; Matte, U. S.; Guterres, S. S.; Pohlmann, A. R.; Garcia, S. C.; *Mutat. Res., Genet. Toxicol. Environ. Mutagen.* **2015**, *784-785*, 1. [Crossref]
- 64S. Bulcão, R. P.; Bubols, G. B.; Nascimento, S. N.; Gauer, B.; Sauer, E.; Baierle, M.; Charão, M. F.; Moro, A.; Brucker, N.; Bruinsmaan, F. A.; Schnorr, C.; Moreira, J. C. F.; Pohlmann, A. R.; Guterres, S. S.; Garcia, S. C.; *Toxicol. Res. (Cambridge, U. K.)* **2015**, *4*, 994. [Crossref]
- 65S. Figueiró, F.; de Oliveira, C. P.; Rockenbach, L.; Mendes, F. B.; Bergamin, L. S.; Jandrey, E. H. F.; Edelweiss, M. I.; Guterres, S. S.; Pohlmann, A. R.; Battastini, A. M. O.; *J. Biomed. Nanotechnol.* **2015**, *11*, 1808. [Crossref]
- 66S. Venturini, C. G.; Bruinsmaan, F. A.; Contri, R. V.; Fonseca, F. N.; Frank, L. A.; D'Amore, C. M.; Raffin, R. P.; Buffon, A.; Pohlmann, A. R.; Guterres, S. S.; *Eur. J. Pharm. Sci.* **2015**, *79*, 36. [Crossref]
- 67S. Ianiski, F. R.; da Silva, F. D. A.; Wilhelm, E. A.; Fernandes, R. S.; Alves, M. P.; Duarte, M. M. M. F.; Luchese, C.; *J. Appl. Biomed.* **2015**, *14*, 105. [Crossref]
- 68S. Villalba, B. T.; Ianiski, F. R.; Vogt, A. G.; Pinz, M. P.; Reis, A. S.; Vaucher, R. A.; Soares, M. P.; Wilhelm, E. A.; Luchese, C.; *Regul. Toxicol. Pharmacol.* **2016**, *81*, 316. [Crossref]
- 69S. Komninou, E. R.; Remião, M. H.; Lucas, C. G.; Domingues, W. B.; Basso, A. C.; Jornada, D. S.; Deschamps, J. C.; Beck, R. C. R.; Pohlmann, A. R.; Bordignon, V.; Seixas, F. K.; Campos, V. F.; Guterres, S. S.; Collares, T.; *PLoS One* **2016**, *11*, 1. [Crossref]

- 70S. Carreño, F.; Paese, K.; Silva, C. M.; Guterres, S. S.; Costa, T. D.; *Mol. Pharmaceutics* **2016**, *13*, 1289. [Crossref]
- 71S. Carreño, F.; Paese, K.; Silva, C. M.; Guterres, S. S.; Dalla Costa, T.; *J. Pharm. Biomed. Anal.* **2016**, *119*, 152. [Crossref]
- 72S. Remião, M. H.; Lucas, C. G.; Domingues, W. B.; Silveira, T.; Barther, N. N.; Komninou, E. R.; Basso, A. C.; Jornada, D. S.; Beck, R. C. R.; Pohlmann, A. R.; Varela Junior, A. S.; Seixas, F. K.; Campos, V. F.; Guterres, S. S.; Collares, T.; *Reprod. Toxicol.* **2016**, *63*, 70. [Crossref]
- 73S. Mathes, C.; Melero, A.; Conrad, P.; Vogt, T.; Rigo, L.; Selzer, D.; Prado, W. A.; Rossi, C.; Garrigues, T. M.; Hansen, S.; Guterres, S. S.; Pohlmann, A. R.; Beck, R. C. R.; Lehr, C. M.; Schaefer, U. F.; *J. Controlled Release* **2016**, *223*, 207. [Crossref]
- 74S. Friedrich, R. B.; Coradini, K.; Fonseca, F. N.; Guterres, S. S.; Beck, R. C. R.; Pohlmann, A. R.; *J. Nanosci. Nanotechnol.* **2016**, *16*, 1265. [Crossref]
- 75S. Silveira, K. L.; da Silveira, L. L.; Thorstenberg, M. L. P.; Cabral, F. L.; Castilhos, L. G.; Rezer, J. F. P.; de Andrade, D. F.; Beck, R. C. R.; Palma, H. E.; de Andrade, C. M.; Pereira, R. S.; Martins, N. M. B.; dos Santos, C. M. B.; Leal, D. B. R.; *Cell Biochem. Funct.* **2016**, *34*, 262. [Crossref]
- 76S. Kann, B.; Spengler, C.; Coradini, K.; Rigo, L. A.; Bennink, M. L.; Jacobs, K.; Offerhaus, H. L.; Beck, R. C. R.; Windbergs, M.; *Anal. Chem.* **2016**, *88*, 7014. [Crossref]
- 77S. Terroso, T. F.; Condotta, K. B.; da Fonseca, F. N.; Jornada, D. S.; Ferreira, G. O.; Ellwanger, J. H.; Schmidt, J. A.; Pohlmann, A. R.; Guterres, S. S.; *J. Drug Delivery Sci. Technol.* **2016**, *36*, 99. [Crossref]
- 78S. Weber, J.; Funk, N. L.; Motta, M. H.; Guedes, A. M.; Visintainer, A. P. C.; Tedesco, S. B.; da Silva, C. D. B.; *J. Nanosci. Nanotechnol.* **2016**, *16*, 1354. [Crossref]
- 79S. Fracasso, R.; Baierle, M.; Goëthel, G.; Barth, A.; Freitas, F.; Nascimento, S.; Altknecht, L.; Olsen, V.; Paese, K.; da Silva, V. D.; Castro, I.; Andrades, M.; Clausell, N.; Pohlmann, A.; Guterres, S.; Garcia, S. C.; *Toxicol. Res. (Cambridge, U. K.)* **2015**, *5*, 168. [Crossref]
- 80S. Figueiró, F.; de Oliveira, C. P.; Bergamin, L. S.; Rockenbach, L.; Mendes, F. B.; Jandrey, E. H. F.; Moritz, C. E. J.; Pettenuzzo, L. F.; Sévigny, J.; Guterres, S. S.; Pohlmann, A. R.; Battastini, A. M. O.; *Purinergic Signalling* **2016**, *12*, 303. [Crossref]
- 81S. Ianiski, F. R.; da Silva, F. D. A.; Wilhelm, E. A.; Fernandes, R. S.; Alves, M. P.; Duarte, M. M. M. F.; Luchese, C.; *J. Appl. Biomed.* **2015**, *14*, 105. [Crossref]
- 82S. Lopes, C. E.; Langoski, G.; Klein, T.; Ferrari, P. C.; Farago, P. V.; *Braz. J. Pharm. Sci.* **2017**, *53*, e15250. [Crossref]
- 83S. Shahraki, A.; Bahadorikhahili, S.; Hashemzaei, M.; Hajinezhad, M.; Afsharimoghaddam, A.; Sarani, F.; Tajrobekar, O.; *Biosci. Biotechnol. Res. Commun.* **2017**, *10*, 623. [Crossref]

- 84S. Chaves, P. S.; Ourique, A. F.; Frank, L. A.; Pohlmann, A. R.; Guterres, S. S.; Beck, R. C. R.; *Eur. J. Pharm. Biopharm.* **2017**, *114*, 88. [Crossref]
- 85S. Silva, A. C. J.; Remião, M. H.; Lucas, C. G.; Domingues, B.; Silveira, T.; Paschoal, J. D.; Jornada, D. S.; Corcine, C. D.; Varela Junior, A. S.; Prado, W.; Campos, V. F.; Seixas, F. K.; Guterres, S. S.; Pohlmann, A. R.; Collares, T.; *Toxicol. In Vitro* **2017**, *40*, 214. [Crossref]
- 86S. Lucas, C. G.; Remião, M. H.; Bruinsmann, F. A.; Lopes, I. A. R.; Borges, M. A.; Feijó, A. L. S.; Basso, A. C.; Pohlmann, A. R.; Guterres, S. S.; Campos, V. F.; Seixas, F. K.; Collares, T.; *Toxicol. In Vitro* **2017**, *45*, 194. [Crossref]
- 87S. Menezes, P. P.; Frank, L. A.; Lima, B. S.; de Carvalho, Y. M. B. G.; Serafini, M. R.; Quintans-Júnior, L. J.; Pohlmann, A. R.; Guterres, S. S.; Araújo, A. A. S; *Int. J. Nanomed.* **2017**, *12*, 2069. [Crossref]
- 88S. Rigo, L. A.; Carvalho-Wordarz, C. S.; Pohlmann, A. R.; Guterres, S. S.; Schneider-Daum, N.; Lehr, C. M.; Beck, R. C. B.; *Eur J. Pharm. Biopharm.* **2017**, *119*, 1. [Crossref]
- 89S. D'Almeida, A. P. L.; de Oliveira, M. T. P.; de Souza, E. T.; Coutinho, D. S.; Ciambarella, B. T.; Gomes, C. R.; Terroso, T.; Guterres, S. S.; Pohlmann, A. R.; Silva, P. M. R.; Martins, M. A.; Bernardi, A.; *Int. J. Nanomed.* **2017**, *12*, 4479. [Crossref]
- 90S. Torge, A.; Wagner, S.; Chaves, P. S.; Oliveira, E. G.; Guterres, S. S.; Pohlmann, A. R.; Titz, A.; Schneider, M.; Beck, R. C. R.; *Int. J. Pharm.* **2017**, *527*, 92. [Crossref]
- 91S. Souza-Batista, A. J.; Poletto, F. S.; Philipon, C. I. M. S.; Guterres, S. S.; Pohlmann, A. R.; Rossi-Bergmann, B.; *Parasitology* **2017**, *144*, 1769. [Crossref]
- 92S. Schultze, E.; Buss, J.; Coradini, K.; Begnini, K. R.; Guterres, S. S.; Collares, T.; Beck, R. C. R.; Pohlmann, A. R.; Seixas, F. K.; *Biomed. Pharmacother.* **2017**, *96*, 404. [Crossref]
- 93S. Antonow, M. B.; Asbahr, A. C. C.; Raddatz, P.; Beckenkamp, A.; Buffon, A.; Guterres, S. S.; Pohlmann, A. R.; *Adv. Mater. Sci., Energy Technol. Environ. Eng.: Proc. Int. Conf.* **2017**, *76*, 374. [Crossref]
- 94S. Frank, L. A.; Chaves, P. S.; D'Amore, C. M.; Contri, R. V.; Frank, A. G.; Beck, R. C. R.; Pohlmann, A. R.; Buffon, A.; Guterres, S. S.; *Eur. J. Pharm. Biopharm.* **2017**, *114*, 202. [Crossref]
- 95S. Drewes, C. C.; Alves, A. C.; Hebeda, C. B.; Copetti, I.; Sandri, S.; Uchiyama, M. K.; Araki, K.; Guterres, S. S.; Pohlmann, A. R.; Farsky, S. H.; *Int. J. Nanomed.* **2017**, *12*, 7153. [Crossref]
- 96S. Bazana, M. T.: *Desenvolvimento de Géis-Creme a partir do Produto Liofilizado Contendo Nanocápsulas de Óleo de Borragem e Dipropionato de Betametasona*; Dissertação de Mestrado, Universidade Federal de Santa Maria, Santa Maria, Brasil, 2015. [Link] acessado em julho 2023
- 97S. Chaves, P. D. S.; Frank, L. A.; Frank, A. G.; Pohlmann, A. R.; Guterres, S. S.; Beck, R. C. R.; *AAPS PharmSciTech* **2018**, *19*, 1637. [Crossref]

- 98S. Benvegnú, D. M.; Roversi, K.; Barcelos, R. C. S.; Trevizol, F.; Pase, C. S.; Segat, H. J.; Dias, V. T.; Savian, A. L.; Piccoli, B. L.; Piccolo, J.; Dutra-Filho, C. S.; Emanuelli, T.; da Silva, C. B.; Beck, R. C. R.; Burger, M. E.; *Neurochem. Res.* **2018**, *43*, 477. [Crossref]
- 99S. Calgaroto, S.; Fauri, L. E.; Frank, L. A.; Paese, K.; Guterres, S. S.; Pohlmann, A. R.; *React. Funct. Polym.* **2018**, *133*, 161. [Crossref]
- 100S. Pereira, N. R. C.; Loiola, R. A.; Rodrigues, S. F.; de Oliveira, C. P.; Büttenbender, S. L.; Guterres, S. S.; Pohlmann, A. R.; Farsky, S. H.; *Int. J. Nanomed.* **2018**, *13*, 4563. [Crossref]
- 101S. Lorenzoni, R.; Cordenonsi, L. M.; Davies, S.; Antonow, M. B.; Diedrich, A. S. M.; Santos, C. G.; Vitalis, G. S.; Garrastazu, G.; Buttini, F.; Sonvico, F.; Gomes, P.; Raffin, R. P.; *J. Microencapsulation* **2019**, *36*, 317. [Crossref]
- 102S. Chaves, P. S; Frank, L. A.; Torge, A.; Schneider, M.; Pohlmann, A. R.; Guterres, S. S.; Beck, R. C. R.; *Powder Technol.* **2019**, *354*, 348. [Crossref]
- 103S. Cardoso, A. M.; de Oliveira, E. G.; Coradini, K.; Bruinsmaan, F. A.; Aguirre, T.; Lorenzoni, R.; Barcelos, R. C. S.; Roversi, K.; Rossato, D. R.; Pohlmann, A. R.; Guterres, S. S.; Burger, M. E.; Beck, R. C. R.; *Adv. Mater. Sci., Energy Technol. Environ. Eng.: Proc. Int. Conf.* **2019**, *96*, 205. [Crossref]
- 104S. de Oliveira, M. T. P.; Coutinho, D. S.; de Souza, E. T.; Guterres, S. S.; Pohlmann, A. R.; Silva, P. M. R.; Martins, M. A.; Bernardi, A.; *Int. J. Nanomed.* **2019**, *14*, 5215. [Crossref]
- 105S. Silva, J. L. G.; Passos, D. F.; Bernardes, V. M.; Cabral, F. L; Schimite, P. G.; Manzoni, A. G.; de Oliveira, E. G.; da Silva, C. B.; Beck, R. C. R.; Jantsch, M. H.; Maciel, R. M.; Leal, D. B. R.; *Inflammation* **2019**, *42*, 1595. [Crossref]
- 106S. Bianchin, M. D.; Borowicz, S. M.; Machado, G. R. M.; Pippi, B.; Guterres, S. S.; Pohlmann, A. R.; Fuentefria, A. M.; Kulkamp-Guerreiro, I. C.; *Colloids Surf., B* **2019**, *175*, 523. [Crossref]
- 107S. Fidelis, E. M.; Savall, A. S. P.; Abreu, E. L.; Carvalho, F.; Teixeira, F. E. G.; Haas, S. E.; Sampaio, T. B.; Pinton, S.; *Neuroscience* **2019**, *423*, 122. [Crossref]
- 108S. Giacomeli, R.; Izoton, J. C.; dos Santos, R. B.; Boeira, S. P.; Jesse, C. R.; Haas, S. E.; *Brain Res.* **2019**, *1721*, 146325. [Crossref]
- 109S. Charão, M. F.; Goethel, G.; Brucker, N.; Paese, K.; Eifler-Lima, V. L.; Pohlmann, A. R.; Guterres, S. S.; Garcia, S. C.; *BMC Pharmacol. Toxicol.* **2019**, *20*, 1. [Crossref]
- 110S. Buss, J. H.; Begnini, K. R.; Bruinsmaan, F. A.; Ceolin, T.; Sonego, M. S.; Pohlmann, A. R.; Guterres, S. S.; Collares, T.; Seixas, F. K.; *Front. Oncol.* **2019**, *9*, 1. [Crossref]
- 111S. Frank, L. A.; Gazzi, R. P.; Mello, P. A.; Buffon, A.; Pohlmann, A. R.; Guterres, S. S.; *Eur. J. Pharm. Biopharm.* **2019**, *136*, 9. [Crossref]

- 112S. Ushirobira, C. Y.; Afiune, L. A. F.; Pereira, M. N.; Cunha-Filho, M.; Gelfuso, G. M.; Gratieri, T.; *Int. J. Biol. Macromol.* **2020**, *151*, 56. [Crossref]
- 113S. Nakama, K. A.; Santos, R. B.; Silva, C. E. R.; Izoton, J. C.; Savall, A. S. P.; Gutirrez, M. E. Z.; Roman, S. S.; Luchese, C.; Pinton, S.; Haas, S. E.; *Arabian J. Chem.* **2020**, *13*, 2456. [Crossref]
- 114S. Elhesaisy, N.; Swidan, S.; *Sci. Rep.* **2020**, *10*, 1. [Crossref]
- 115S. Escrivani, D. O.; Lopes, M. V.; Poletto, F.; Ferrarini, S. R.; Sousa-Batista, A. J.; Steel, P. G.; Guterres, S. S.; Pohlmann, A. R.; Rossi-Bergmann, B.; *Nanomedicine: Nanotechnology, Biology and Medicine* **2020**, *24*, 102121. [Crossref]
- 116S. Giacomeli, R.; de Gomes, M. G.; Reolon, J. B.; Haas, S. E.; Colomé, L. M.; Jesse, C. R.; *Behav. Brain Res.* **2020**, *390*, 112696. [Crossref]
- 117S. de Gomes, M. G.; Pereira, M. P.; Teixeira, F. E. G.; Carvalho, F.; Savall, A. S. P.; Bicca, D. F.; Fidelis, E. M.; Botura, P. E.; Cibin, F. W.; Piton, S.; Hass, S. E.; *Biomed. Pharmacother.* **2020**, *121*, 109575. [Crossref]
- 118S. Cé, R.; Silva, R. C.; Trentin, D. S.; de Marchi, J. G. B.; Paese, K.; Guterres, S. S.; Macedo, A. J.; Pohlmann, A. R.; *J. Nanosci. Nanotechnol.* **2020**, *20*, 1486. [Crossref]
- 119S. Bruinsmann, F. A.; Buss, J. H.; Souto, G. D.; Schultze, E.; de Alves, A. C. S.; Seixas, F. K.; Collares, T. V.; Pohlmann, A. R.; Guterres, S. S.; *AAPS PharmSciTech* **2020**, *21*, 1. [Crossref]
- 120S. Carreño, F.; Helfer, V. E.; Staudt, K. J.; Olivo, L. B.; Paese, K.; Meyer, F. S.; Herrmann, A. P.; Guterres, S. S.; Rates, S. M. K.; Trocóniz, I.; Costa, T. D.; *J. Pharmacol. Exp. Ther.* **2020**, *375*, 49. [Crossref]
- 121S. Lorenzoni, R.; Davies, S.; Cordenonsi, L. M.; Viçosa, J. A. S.; Mezzomo, N. J.; de Oliveira, A. L.; do Carmo, G. M.; Raffin, R. P.; Alves, O. L.; Vaucher, R. A.; Rech, V. R.; *Eur. J. Pharm. Sci.* **2020**, *151*, 105397. [Crossref]
- 122S. Andrade, T. D. A.; Menezes, P.; de Carvalho, Y. M. G.; Lima, B. S.; de Souza, E. P. B. S. S.; Araujo, A. A. S.; Melo, M. A. O.; Quintans-Júnior, L. J.; Quintans, J. S. S.; Guterres, S. S.; Pohlmann, A. R.; Shanmugan, S.; Frank, L. A.; Serafini, M. R.; *AAPS PharmSciTech* **2020**, *21*, 184. [Crossref]
- 123S. Giacomeli, R.; Teixeira, F. E. G.; Carvalho, F. B.; Pacheco, C. O.; Parisotto, A. J. M.; Ribeiro, A. C. F.; de Gomes, M. G.; Haas, S. E.; *Food Chem. Toxicol.* **2020**, *144*, 111625. [Crossref]
- 124S. Vasconcelos, A. G.; Valim, M. O.; Amorim, A. G. N.; Pais, C.; Peixoto, M.; Almeida, D.; Borges, T. K. S.; Socodato, R.; Brand, G. D.; Saraiva, J.; Mattos, C.; Relvas, J.; Plácido, A.; Eaton, P.; Ramos, D. A. R.; Kückelhaus, S. A. S.; Roberto, J.; Leite, S. A.; *Food Res. Int.* **2020**, *136*, 109548. [Crossref]

- 125S. Pires, J.; Tasca, S.; Alves, S.; Dornelles, V.; Sinhorin, G.; Sabino, A.; Paulo, A.; de Campos, R.; Cavalheiro, L.; Mendes, D.; Valladão, D. S.; Ra, A.; Stanićuaski, S.; Regina, S.; *Eur. J. Pharm. Sci.* **2020**, *150*, 105356. [Crossref]
- 126S. Gazzi, R. P.; Frank, L. A.; Onzi, G.; Pohlmann, A. R.; Guterres, S. S.; *Drug Delivery Transl. Res.* **2020**, *10*, 1829. [Crossref]
- 127S. Casarini, T. P. A.; Frank, L. A.; Benin, T.; Onzi, G.; Pohlmann, A. R.; Guterres, S. S.; *Mater. Sci. Eng., C* **2020**, *120*, 111681. [Crossref]
- 128S. Davies, S.; Contri, R. V.; Guterres, S. S.; Pohlmann, R. A.; Guerreiro, I. C. K.; *Colloids Surf., B* **2020**, *192*, 111023. [Crossref]
- 129S. Gutierrez, M. E. Z.; Savall, A. S. P.; Abreu, E. L.; Nakama, K. A.; Santos, R. B. S.; Guedes, M. C. M.; Ávila, D. S.; Luchese, C.; Haas, S. E.; Quines, C. B.; Pinton, S.; *Neural Regener. Res.* **2021**, *16*, 783. [Crossref]
- 130S. Ortiz, M.; Coutinho, D. D. S.; Ciambarella, B. T.; de Souza, E. T.; Paula, A.; Almeida, L. D.; Durli, T. L.; Machado, P.; Bernardi, A.; Sonvico, F.; Pohlmann, A. R.; Martins, M. A.; Guterres, S. S.; *Drug Delivery Transl. Res.* **2020**, *10*, 1700. [Crossref]
- 131S. de Gomes, M. G.; Teixeira, F. E. G.; de Carvalho, F. B.; Pacheco, C. O.; Neto, M. R. S.; Giacomeli, R.; Ramalho, J. B.; dos Santos, R. B.; Domingues, W. B.; Campos, V. F.; Haas, S. E.; *J. Neuroimmunol.* **2020**, *345*, 577270. [Crossref]
- 132S. dos Santos, R. B.; Nakama, K. A.; Pacheco, C. O.; de Gomes, M. G.; de Souza, J. F.; Pinto, A. C. S.; de Oliveira, F. A.; da Fonseca, A. L.; Varotti, F.; Fajardo, A. R.; Hass, S. E.; *Mater. Sci. Eng., C* **2021**, *118*, 111356. [Crossref]
- 133S. Oliveira, N. K.; Frank, L. A.; Squizani, E. D.; Reuwsaat, J. C. V.; Marques, B. M.; Motta, H.; Garcia, A. W. A.; Kinskovski, U. P.; Barcellos, V. A.; Schrank, A.; Pohlmann, A. R.; Staats, C. C.; Guterres, S. S.; Vainstein, M. H.; Kmetzsch, L.; *Eur. J. Pharm. Sci.* **2021**, *162*, 105816. [Crossref]
- 134S. Cé, R.; Pacheco, B. Z.; Ciocheta, T. M.; Barbosa, F. S.; Alves, A. C. S.; Dallemole, D. R.; Lavayen, V.; Guterres, S. S.; Steppe, M.; Pohlmann, A. R.; *React. Funct. Polym.* **2021**, *162*, 104876. [Crossref]
- 135S. de Carvalho, F. B.; de Gomes, M. G.; Savall, A. S. P.; Fidelis, E. M.; Piton, S.; Ribeiro, A. C. F.; Munieweg, F. R.; Oelke, C. A.; Haas, S. E.; *Pharmacol. Rep.* **2021**, *73*, 563. [Crossref]

- 136S. Zancan L. R.; Bruinsmann F. A.; Paese K.; Türck, P.; Bahr, A.; Zimmer, A.; Carraro, C. C.; Schenkel, P. C.; Belló-Klein, A.; Schwertz, C. I.; Driemeier D.; Pohlmann A. R.; Guterres S. S.; *Int J Pharm.* **2021**, *15*, 121181. [Crossref]
- 137S. Oliveira, E. G.; Cardoso, A. M.; Paese, K.; Coradini, K.; de Oliveira, C. V.; Pohlmann, A. R.; Oliveira, M. S.; Guterres, S. S.; Beck, R. C. R.; *Int. J. Pharm.* **2018**, *551*, 121. [Crossref]
- 138S. Veragten, A.; Contri, R. V.; Betti, A. H.; Herzfeldt, V.; Frank, L. A.; Pohlmann, A. R.; Rates, S. M. K.; Guterres, S. S.; *React. Funct. Polym.* **2020**, *148*, 104493. [Crossref]
- 139S. Oliveira, E. G.; de Oliveira, R. S.; Zatta, K. C.; Furian, A. F.; Oliveira, M. S.; Pohlmann, A. R.; Guterres, S. S.; Beck, R. C. R.; *Mater. Sci. Eng., C* **2020**, *111*, 110753. [Crossref]
- 140S. Dias, A. F.; DalleMole, D. R.; Bruinsmann, F. A.; Silva, L. F. L.; Cruz-López, O.; Conejo-García, A.; Battastini, A. M. O.; Campos, J. M.; Guterres, S. S.; Pohlmann, A. R.; Figueiró, F.; *Nanomedicine* **2021**, *16*, 2095. [Crossref]
- 141S. Mayer, F. Q.; Adorne, M. D.; Bender, E. A.; de Carvalho, T. G.; Dilda, A. C.; Beck, R. C. R.; Guterres, S. S.; Giugliani, R.; Matte, U.; Pohlmann, A. R.; *Pharm. Res.* **2015**, *32*, 941. [Crossref]
- 142S. Cavalcante, M. F.; Kazuma, S. M.; Bender, E. A.; Adorne, M. D.; Ullian, M.; Veras, M. M.; Saldiva, P. H. N.; Maranhão, A. Q.; Guterres, S. S.; Pohlmann, A. R.; Abdalla, D. S. P.; *Eur. J. Pharm. Biopharm.* **2016**, *107*, 120. [Crossref]
- 143S. de Alves, A. C. S.; Lavayen, V.; Figueiró, F.; DalleMole, D. R.; Dias, A. F.; Cé, R.; Battastini, A. M. O.; Guterres, S. S.; Pohlmann, A. R.; *Pharm. Res.* **2020**, *37*, 91. [Crossref]
- 144S. Leão, M. C.; Pohlmann, A. R.; Alves, A. C. S.; Farsky, S. H. P.; Uchiyama, M. K.; Araki, K.; Sandri, S.; Guterres, S. S.; Castro, I. A.; *Eur. J. Pharm. Biopharm.* **2021**, *159*, 99. [Crossref]
- 145S. Cavalcante, M. F.; Adorne, M. D.; Turato, W. M.; Kemmerer, M.; Uchiyama, M. K.; Asbahr, A. C. C.; Alves, A. C. S.; Farsky, S. H. P.; Drewes, C.; Spatti, M. C.; Kazuma, M. S.; Boss, M.; Guterres, S. S.; Akati, K.; Brüne, B.; Namgaladze, D.; Pohlmann, A. R.; Addalla, D. S. P.; *Frontiers in Medicine* **2021**, *8*, 446. [Crossref]
- 146S. DalleMole D. R.; Terroso, T.; Alves, A. C. S.; Scholl, J. N.; Onzi, G. R.; Cé, R.; Paese, K.; Battastini, A. M. O.; Guterres, S. S.; Figueiró, F.; Pohlmann A. R.; *Pharmaceutics* **2021**, *13*, 862. [Crossref]
- 147S. Alves, A. C. S.; Lavayen, V.; Dias, A. F.; Bruinsmann, F. A.; Scholl, J. N.; Cé, R.; Visioli, F.; Battastini, A. M. O.; Guterres, S. S.; Figueiró, F.; Pohlmann, A. R.; *Nanomedicine* **2021**, *16*, 1775. [Crossref]

